

# ارزیابی اثر سیسپلاتین و نانوذرات مغناطیسی اکسید آهن بارگذاری شده با سیسپلاتین روی بیان ژن‌های *BAX* و *BCL2* در رده سلولی T47D سرطان پستان

محمدجواد مختاری<sup>۱\*</sup>، ژیلا حسینیان<sup>۲</sup>، فاطمه کوهپیما<sup>۳</sup>، عظیم اکبرزاده<sup>۴</sup>، مهرداد هاشمی<sup>۵</sup>، رضا مهدیان<sup>۶</sup>، احمد رضا کامیاب<sup>۷</sup>، هادی محمدی<sup>۸</sup>

- ۱- استادیار، گروه زیست‌شناسی، دانشگاه آزاد اسلامی واحد زرگان، زرگان، ایران
- ۲- کارشناس ارشد، بخش پایلوت بیوتکنولوژی، انسیتو پاستور ایران، تهران، ایران
- ۳- استادیار، گروه ترمیمی، دانشکده دندانپزشکی، دانشگاه علوم پزشکی شیراز، شیراز، ایران
- ۴- استاد، بخش پایلوت بیوتکنولوژی، انسیتو پاستور ایران، تهران، ایران
- ۵- دانشیار، گروه ژنتیک، دانشگاه آزاد اسلامی واحد پزشکی تهران، تهران، ایران
- ۶- استادیار، بخش پزشکی مولکولی، انسیتو پاستور ایران، تهران، ایران
- ۷- کارشناس ارشد، گروه زیست‌شناسی، دانشگاه آزاد اسلامی واحد زرگان، زرگان، ایران
- ۸- کارشناس ارشد، باشگاه پژوهشگران جوان، دانشگاه آزاد اسلامی واحد کرمانشاه، کرمانشاه، ایران

\*آدرس نویسنده مسئول: ایران، زرگان، کد پستی: ۷۳۴۱۶۱۷۱۸۴، خیابان شهید صادقی، روپروی مجتمع آل‌یاسین، دانشگاه آزاد اسلامی واحد زرگان، گروه زیست‌شناسی  
Email: mj\_mokhtari@srbiua.ac.ir

پذیرش مقاله: ۹۱/۱۰/۰۴

دریافت مقاله: ۹۱/۰۷/۰۸

## چکیده

**هدف:** سرطان پستان دومین عامل مرگ و میر سرطان در زنان است. سیسپلاتین یک داروی ضد سرطانی رایج شیمی درمانی است که سبب مرگ سلول‌های سرطانی می‌شود. حساسیت سلول‌های سرطانی به داروهای شیمی درمانی اغلب به خاطر تغییر بیان در سطوح mRNA ژن‌های مرتبط با فرآیند مرگ سلولی برنامه‌ریزی شده است. نانوساختارهای تحويل دهنده دارو برای انتقال غلظت‌های کمتر و مؤثرتر داروهای شیمی درمانی طراحی شده است. در این مطالعه بیان ژن‌های *T47D* و *BCL2* در سلول‌های سیسپلاتین و نانوذرات بارگذاری شده با سیسپلاتین ارزیابی شد که می‌تواند منجر به افقی تازه در درمان سرطان پستان باشد.

**مواد و روش‌ها:** در این مطالعه سلول‌های *T47D* با غلظت‌های متفاوت سیسپلاتین و نانوذرات بارگذاری شده با سیسپلاتین به مدت ۴۸ ساعت تیمار شدند. IC<sub>50</sub> RNA با استفاده از محلول RNX استخراج شد. سیسپ cDNA ساخته شد. آغازگرهای اختصاصی برای ژن‌های *BCL2* و *BAX* با استفاده از نرمافزار اختصاصی طراحی شد. میزان بیان ژن‌های *BCL2* و *BAX* نسبت به ژن *TBP* (ژن مرجع) با استفاده از روش Real-Time PCR بررسی شد.

**نتایج:** بیان ژن‌های *BCL2* و *BAX* در سلول‌های *T47D* تیمار شده با سیسپلاتین، به ترتیب به میزان ۰/۰۷ و ۰/۴۸ و در سلول‌های *T47D* تیمار شده با نانوذرات بارگذاری شده با سیسپلاتین، به ترتیب به میزان ۰/۰۳ و ۰/۴۱ تغییر یافت.

**نتیجه گیری:** در این بررسی نشان داده شد که نانوذرات بارگذاری شده با سیسپلاتین یک ترکیب ضد سرطانی مؤثر است. همچنین مشاهده شد که نانوذرات سبب القای مرگ برنامه‌ریزی شده در سلول‌های سرطان پستان می‌شود. در این مطالعه مشخص شد که آثار سمیت سلولی نانوذرات سیسپلاتین بر رده سلولی *T47D* بیشتر از سیسپلاتین تنها است.

**کلیدواژگان:** سیسپلاتین، نانوذره، سرطان پستان، ژن‌های مرگ سلولی برنامه‌ریزی شده

————— مجله علوم پزشکی مدرس: آسیب‌شناسی زیستی، دوره ۱۵، شماره ۴، زمستان ۱۳۹۱، صفحات: ۷۵-۸۷

## اثرات ضدسرطانی نانوذرات بارگذاری شده با سیسپلاتین

و لیگاندهای آمین و کلر به عنوان یک داروی شیمی درمانی استفاده می‌شود. این دارو به طور معمول برای درمان سرطان پستان استفاده نمی‌شود اما مشاهده شده که در فرم‌های پیشرفته سرطان پستان درمان ترکیبی این دارو با اتوپوزاید (Etoposide) تأثیرات بالینی مفیدی دارد. فعالیت زیستی سیسپلاتین به‌طور غیر متظره‌ای در ۱۲۵ سال پیش، بعد از یک گزارش اولیه از ساخته شدن و بررسی خصوصیات آن کشف شد. هرچند ساخت و شناخت سیسپلاتین برای اولین بار توسط میشل پیرون در سال ۱۸۴۵ گزارش شد [۵]، اتصال سیسپلاتین به DNA ژنومی در هسته سلول، رخداد اصلی است که پاسخ‌گوی خصوصیات ضد سرطانی سیسپلاتین است. بنابراین آسیب ایجاد شده بر اثر اتصال سیسپلاتین به DNA ژنومی ممکن است مکانیسم‌های رونویسی و هماندسازی DNA را مهار کند. متعاقب آن، این تغییرات در پردازش DNA باعث فرآیند سمیت سلولی می‌شود که سلول‌های سرطانی را به سمت مرگ سلولی هدایت می‌کند [۶]. با توجه به افزایش شیوه و مرگ و میر ناشی از سرطان‌های مختلف و نقصان روش‌های شیمی درمانی و پرتو درمانی در فرم‌های پیشرفته سرطان، نیاز به شیوه‌های جدیدی برای درمان سرطان احساس می‌شود. نانوفناوری جدیدترین گرایش در درمان سرطان است. در حقیقت نانوفناوری برای تغییر مقیاس در روش‌های انتقال دارو ایجاد شده است. محققان با استفاده از نانوفناوری، در حال ساخت کپسول‌هایی با ابعاد نانومتری هستند که علاوه بر اندازه غیر قابل تصویرشان قدرت تشخیص بافت‌های مريض را داشته، دقیقاً روی این بافت‌ها قرار گرفته و مقدار داروی لازم را به آن‌ها می‌رساند، این پدیده را دارورسانی هدفمند می‌گویند [۷]. استفاده از نانوذره‌هایی که دارای خاصیت مغناطیسی بالایی است مانند نانوذرات مغناطیسی اکسید آهن این امکان را فراهم می‌کند که حرکت آن‌ها را در خون توسط میدان مغناطیسی خارجی کنترل شود و فقط آن ذرات به بافت هدف سوق داده شود. علاوه بر این ثابت شده که نانوذره‌های سوپرپارامغناطیس بسته به فرکانس و دامنه میدان مغناطیسی متناوب اعمالی قادر است گرما تولید کند. به این صورت که سوسپانسیون نانوذره‌های سوپرپارامغناطیس اکسید آهن، انرژی یک میدان مغناطیسی نوسانی را جذب می‌کند که از این ویژگی می‌توان

## مقدمه

سرطان بیماری است که در آن سلول‌های بدن به طور غیرعادی تقسیم و تکثیر شده و به بافت‌های سالم متشر می‌شوند. سرطان پستان بیماری چند عاملی و پیچیده‌ای است که عوامل ژنتیکی و محیطی زیادی در آن دخالت دارد. شناسن ابتلا به سرطان پستان با افزایش سن بالا می‌رود. علاوه بر این زن بودن عامل خطر اصلی برای ابتلا به سرطان پستان است. سرطان پستان شایع‌ترین سرطان در زنان بعد از سرطان غیرملانومی پوست (Nonmelanoma Skin Cancer) و دومین علت مرگ ناشی از سرطان در زنان پس از سرطان ریه است. این بیماری مختص زنان است اما مردان نیز ممکن است به آن مبتلا شوند. احتمال ابتلای زنان به سرطان مهاجم پستان طی زندگی شان ۱ به ۸ (۱۳ درصد زنان) است. در ایران سن ابتلا به این سرطان ۵ تا ۱۰ سال کمتر از کشورهای دیگر است. سرطان پستان شایع‌ترین نوع سرطان در زنان ایرانی است [۱]. حدود ۵ تا ۱۰ درصد از موارد سرطان پستان زمینه ارثی دارد. شایع‌ترین ژن‌های معیوب در این زمینه دو ژن BRCA1 و BRCA2 است [۲]. شیمی درمانی یکی از روش‌های درمان سرطان یا تحفیف وقت آن با استفاده از برخی داروهای خاص است که در اصطلاح پزشکی به آن‌ها شیمی درمانی گفته می‌شود. بیشتر داروهای ضد سرطان به کار رفته در شیمی درمانی به صورت گزینشی نمی‌تواند سلول‌های سرطانی را از بین ببرد و متأسفانه به بافت‌های سالم اطراف آن نیز آسیب جدی وارد می‌کند. آثار جانبی ناشی از شیمی درمانی به مقدار دوز مصرفی داروی به کار رفته بستگی دارد، همچنین این آثار می‌تواند منجر به بازگشت تومور و اغلب موارد مقاومت نسبت به دارو شود [۳، ۴]. سیس دی آمینو دی کلروپلاتینوم (Cisplatin: سیسپلاتین) یک کمپلکس معدنی آسیب‌رسان به DNA است که اغلب در شیمی درمانی سرطان به کار می‌رود. بزرگ‌ترین کاربرد کمپلکس‌های فلزی پلاتین در درمان سرطان است، که کمپلکس سیسپلاتین نمونه‌ای است که در آن با استفاده از ترکیب فلز پلاتین

FBS تهیه شد. به مظور بررسی اثر سمیت سلولی این ترکیبات از روش سنجش MTT (3-[4,5-Dimethylthiazol-2-Yl]-MTT) (2,5-Diphenyl Tetrazolium Bromide) استفاده شد. این روش براساس توانایی سلول‌های زنده در تبدیل نمک تترازولیوم (Tetrazolium) محلول به فورمازان (Formazan) نامحلول است. ابتدا در پلیت ۹۶ خانه‌ای به میزان ۱۰۰ میکرولیتر از سوسپانسیون سلولی حاوی ۱۰۰۰۰ سلول در محیط کشت ریخته شد. پس از ۸ ساعت محیط کشت رویی برداشته شد و دارو اضافه شد. سپس پلیت‌ها به مدت ۴۸ ساعت در شرایط ۳۷ درجه سانتی‌گراد در یک اتمسفر مرطوب با غلظت پنج درصد  $\text{CO}_2$  انکوبه شد. پس از پایان انکوباسیون مقدار ۵ میلی‌گرم در میلی‌لیتر PBS (Phosphate Buffered Saline) ۱۰ میکرولیتر از محلول MTT [۵ میلی‌گرم در میلی‌لیتر (Protein)] به هر چاهک اضافه شده و پس از ۴ ساعت انکوباسیون کربستال‌های بنفسن رنگ فورمازان ایجاد شد. برای حل کردن فورمازان ۱۰۰ میکرولیتر ایزوپروپانول (Isopropanol) به هر چاهک افزوده شد. سپس ELISA reader شدت رنگ توسط دستگاه قرائت گر الایزا (Oraganon Teknika, هلند) در طول موج ۵۴۰ نانومتر ثبت شد. شش چاهک حاوی سلول‌های T47D بدون تیمار به عنوان کنترل منفی انتخاب شد. برای تعیین دوز ۵۰ درصد کشنده‌گی مواد سمی روی رده سلولی T47D، تمامی اطلاعات به دست آمده (درصد سمیت) از نمونه‌ها و کنترل با استفاده از نرمافزار statistical package Pharm-PCS بررسی شد و میزان دقیق  $\text{IC}_{50}$  مربوط تعیین شد [۱۱].

## استخراج RNA

ابتدا  $2 \times 10^7$  سلول در فلاسک‌های T-25 ریخته شد و بعد از یک شب با سیس‌پلاتین و نانوذرات بارگذاری شده با سیس‌پلاتین تیمار شد و پس از مدت زمان ۴۸ ساعت استخراج RNA انجام شد. برای جداسازی سلول‌ها از ته فلاسک، سلول‌ها با تریپسین جدا و با سرعت ۱۱۰۰ دور در دقیقه سانتریفوژ و سپس دو مرتبه با PBS شست و شو شدند. سپس

برای کاربرد در داخل بدن استفاده کرد تا دمای بافت تومور را افزایش داده و سلول‌های بیمار به این طریق تخریب شوند، زیرا سلول‌های تومور نسبت به سلول‌های سالم به افزایش دما حساس‌تر هستند [۸].

گسترش روز افزون بیماری سرطان و مشکلات فراوان ناشی از آن از یک سو و عدم موقیت کافی روش‌های درمانی رایج و سنتی در مبارزه اختصاصی با آن موجب توجه ویژه محققین نسبت به روش‌های درمانی هدفمند گشته است. هدف از این مطالعه مقایسه اثر سیس‌پلاتین و نانوذرات بارگذاری شده با سیس‌پلاتین که در مطالعه گذشته ساخته شده بود [۹]، بر قدرت بقای سلول‌های Human ductal breast (T47D)  $BCL2$  (epithelial tumor cell line Bcl-2-Associated X (BAX) و (B-Cell Lymphoma 2) (Protein) است.

## مواد و روش‌ها

### کشت سلول

رده سلولی T47D از بانک سلولی انسیتو پاستور ایران خریداری شد (NCBI C203). این سلول‌ها در محیط کشت RPMI 1640 حاوی ۱۰ تا ۲۰ درصد سرم جنین گاوی (Fetal Bovine Serum: FBS) دو میلی‌مولار گلوتامین، دو گرم در لیتر بی‌کربنات، ۱۰۰ واحد در میلی‌لیتر پنی‌سیلین (Penicillin) و ۱۰۰ میکروگرم در میلی‌لیتر استرپتومایسین (Streptomycin) در دمای ۳۷ درجه سانتی‌گراد در یک اتمسفر مرطوب با غلظت پنج درصد  $\text{CO}_2$  کشت شدند [۱۰].

### انکوباسیون سلول‌ها با سیس‌پلاتین و نانوذرات

**مغناطیسی اکسید آهن بارگذاری شده با سیس‌پلاتین**  
غلاظت‌های مختلفی از سیس‌پلاتین و نانوذرات بارگذاری شده با سیس‌پلاتین (۰، ۵۰، ۲۵، ۱۲۵، ۲۵۰، ۱۲۵ و ۱۰۰ میکرومولار) در محیط کشت RPMI 1640 حاوی ۱۰ درصد

## اثرات ضدسرطانی نانوذرات بارگذاری شده با سیس پلاتین

مخلوط داکسی نوکلئوتید تری فسفات (۱۰ میلی مولار)، یک میکرولیتر مهار کننده آنزیم RNase (۲۰ واحد در میکرولیتر)، یک میکرولیتر آنزیم رونوشتبردار معکوس M-MuLV و آب مقطر دو بار تقطیر (تا حجم نهایی ۲۰ میکرولیتر) بود. سپس برنامه دمایی- زمانی به صورت ۲۵ درجه سانتی گراد به مدت ۵ دقیقه (برای اتصال آغازگر)، ۴۲ درجه سانتی گراد به مدت ۶۰ دقیقه (ساخت cDNA) و ۷۰ درجه سانتی گراد به مدت ۵ دقیقه (غیر فعال شدن رونوشتبردار معکوس) و ۴ درجه سانتی گراد به مدت ۵ دقیقه انجام شد. واکنش PCR با استفاده از دستگاه Bio-Rad iCycler Thermal Cycler (آمریکا) صورت گرفت.

## طراحی آغازگرها

در این مطالعه ژنهای *BCL2* واقع بر کروموزوم ۱۸ (۱۸q۲۱,۳) و *BAX* واقع بر کروموزوم ۱۹ (۱۹q۱۳,۴) به عنوان ژن های هدف و ژن *TBP* واقع بر کروموزوم ۶ (۶q۲۷) به عنوان ژن مرجع انتخاب شد. سپس توالی ژن ها از سایت <http://www.ncbi.nlm.nih.gov> گرفته شد، با نرم افزار Applied Biosystems (نسخه ۳/۰ Primer Express) برای ژن های مورد مطالعه آغازگرها اختصاصی طراحی شد. توالی آغازگرها جلویی و برگشتی ژن هدف *BCL2* به صورت ۳'-*TGTGGATGACTGAGTACCTGAACC*-۵' - ۵'-*CAGCCAGGA*- ۳' جلویی، دمای ۶۱/۸۴ درجه سانتی گراد و ۵'-*GAAATCAAACAGAG*- ۳' برگشتی، دمای ۵۹/۵۶ درجه سانتی گراد، برای ژن مرجع *BAX* به صورت ۵'-*TTGCTT*- ۳' - *CAGGGTTTCATCCAG*- ۳' سانتی گراد، و ۵'-*AGCTTCTGGTGGACGCATC*- ۳' برگشتی، دمای ۶۰/۶۷ درجه سانتی گراد، و برای ژن مرجع *TBP* به صورت ۵'-*AATCATGAGGATAAGAGAGCCACG*- ۳' ۵'-*AGTCTGGAC*- ۳' جلویی، دمای ۶۰/۲۶ درجه سانتی گراد و ۵'-*TGTTCTTCACTCTTG*- ۳' برگشتی، دمای ۶۲/۱۹ درجه سانتی گراد است. برای درستی توالی آغازگرها و اطمینان از

برای لیز کردن سلول ها به آنها یک میلی لیتر محلول استخراج RNX (سیناژن، ایران) سرد اضافه شد. سپس محتويات هر فالکون در میکروتبهای فاقد RNase ریخته شد. نمونه های همگن به مدت پنج دقیقه در دمای اتاق انکوبه شد. سپس میزان ۲۰۰ میکرولیتر کلروفورم به هر نمونه افزوده شد و پس از تکان دادن شدید به مدت ۱۵ ثانیه و پنج دقیقه قرار گرفتن در دمای اتاق، به مدت ۱۵ دقیقه با سرعت ۱۲۰۰۰ دور در دقیقه در دمای ۴ درجه سانتی گراد سانتریفیوز (Eppendorf 5804R، آلمان) شدند. فاز آبی بالایی با حجم برابری از ایزوپروپانول مخلوط شد و پس از مدت زمان ۱۵ دقیقه در دمای ۴ درجه سانتی گراد با سرعت ۱۲۰۰۰ دور در دقیقه سانتریفیوز شد. سپس اتانول ۷۵ درصد به رسوب RNA اضافه شد. در ادامه سانتریفیوز به مدت پنج دقیقه در دمای ۴ درجه سانتی گراد با سرعت ۷۵۰۰ دور در دقیقه صورت گرفت تا RNA شسته شود. در مرحله آخر RNA در آب مقطر دو بار تقطیر حل و در فریزر ۷۰ درجه سانتی گراد نگهداری شد.

## ارزیابی خلوص و کیفیت RNA استخراج شده

در این مرحله مقدار و خلوص RNA استخراج شده با استفاده از فتونانومتر (IMPLEN GmbH، آلمان) تعیین شد. نسبت جذب نوری RNA در طول موج های ۲۶۰ نانومتر به ۲۸۰ نانومتر و ۲۶۰ نانومتر به ۲۳۰ نانومتر سنجش شد. از نمونه هایی که نسبت جذب نوری ۲۶۰/۲۸۰ نانومتر میان ۱/۸ تا ۲/۲ و نسبت جذب نوری ۲۶۰/۲۳۰ میان ۱/۷ تا ۱/۹ داشتند برای ساخته شدن cDNA استفاده شد.

## ساخت cDNA مکمل

مولکول های DNA مکمل با کیت Revert AidTM First Strand cDNA Synthesis Kit (Fermentas، آمریکا) ساخته شد. مخلوط واکنش شامل یک میکروگرم RNA، ۵ میکرولیتر بافر واکنش ۰/۵ میکرولیتر آغازگر Oligo (dT) ۰/۵ میکرولیتر آغازگر شش نوکلئوتیدی تصادفی، دو میکرولیتر

سپس برای هر واکنش PCR یک منحنی تکثیر (Amplification curve) رسم شد. در این تحقیق از روش کمیت سنجی نسبی برای بررسی تغییرات بیان ژن استفاده شد. تجزیه و تحلیل داده‌ها براساس مقایسه چرخه آستانه انجام شد. در این مطالعه اختلاف چرخه‌های آستانه به دست آمده از نمونه‌های مورد آزمایش (سلول‌های تیمار شده با دارو) و نمونه‌های کنترل (سلول‌های تیمار نشده با دارو) محاسبه و با استفاده از فرمول  $\Delta\Delta Ct$ , نسبت ژن هدف به ژن مرجع از طریق  $2^{-\Delta\Delta Ct}$  محاسبه شد [۱۰].

### تجزیه و تحلیل‌های آماری

نتایج به دست آمده در این مطالعه براساس حداقل سه تکرار استوار است که با گرفتن میانگین و محاسبه انحراف معیار میزان تغییرات محاسبه شد. آزمون مقایسه‌ای مورد استفاده بود و  $P < 0.05$  معنی‌دار در نظر گرفته شد.

### نتایج

#### تیمار سلول‌های T47D با سیس‌پلاتین و نانوذرات مغناطیسی اکسید آهن بارگذاری شده با سیس‌پلاتین

تیمار سلول‌های T47D با غلظت‌های مختلف نانوذرات بارگذاری شده با سیس‌پلاتین  $50, 25, 20, 12.5, 7.5, 5, 3, 1.25$  نانوگرم در مدت ۴۸ ساعت به ترتیب سبب کاهش بقای سلول‌ها ( $P < 0.05$ ) (Figure ۱) می‌شود. تیمار این سلول‌ها با غلظت‌های مختلف نانوذرات بارگذاری شده با سیس‌پلاتین براساس سیس‌پلاتین  $50, 25, 20, 12.5, 7.5, 5, 3, 1.25$  نانوگرم در مدت ۴۸ ساعت به ترتیب سبب کاهش بقای سلول‌ها ( $P < 0.01$ ) (Figure ۲) می‌شود.

عدم اتصال آن‌ها به توالی‌های غیر اختصاصی در بخش‌های دیگر (http://www.ncbi.nlm.nih.gov/blast) BLAST را نشاند.

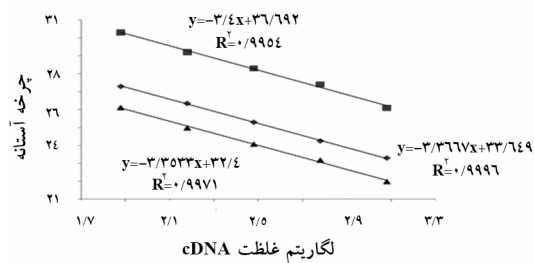
### Real-time RT- PCR

در این مطالعه از دستگاه Real-time PCR مدل Rotor-Gene 6000 (Corbett Research) استفاده شد. برنامه زمانی- گرمایی دستگاه در سه مرحله انجام شد. مرحله اول که منجر به واسرخت شدن مولکول‌های cDNA و فعال شدن آنزیم پلیمراز می‌شود به صورت ۹۵ درجه سانتی‌گراد به مدت ۱۰ دقیقه، مرحله دوم ۹۵ درجه سانتی‌گراد به مدت ۱۵ ثانیه و ۶۰ درجه سانتی‌گراد به مدت ۱ دقیقه برای ۴ چرخه متواالی و مرحله نهایی برای ترسیم منحنی ذوب به صورت ۹۵ درجه سانتی‌گراد به مدت ۱۵ ثانیه، ۶۰ درجه سانتی‌گراد به مدت ۱۵ ثانیه انجام شد. واکنش‌های Real-time PCR در حجم نهایی ۲۰ میکرولیتر به صورت تکرار سه‌تایی انجام شد. در هر واکنش ۱۰ میکرولیتر Applied Biosystems SYBR-Green PCR Master Mix (آمریکا)، یک میکرولیتر (۴۰۰ نانومولار) از آغازگرهای جلویی و برگشتی اختصاصی هر ژن، ۵ میکرولیتر ۳۰۰ (نانوگرم) و مابقی آب مفطر دوبار تقطیر اضافه شد تا به حجم نهایی ۲۰ میکرولیتر رسید.

برای ترسیم منحنی استاندارد (Standard Curve) از رقت‌های متواالی cDNA استاندارد به صورت غلظت‌های ۷۵, ۱۵۰, ۳۰۰, ۶۰۰ و ۱۲۰۰ نانوگرم در میکرولیتر استفاده شد. منحنی استاندارد براساس لگاریتم غلظت cDNA (محور افقی) و چرخه آستانه یا (Ct) محور عمودی برای هر ژن ترسیم شد. از منحنی استاندارد دامنه غلظت بهینه cDNA الگو و میزان PCR efficiency (PCR بازده) برای هر ژن تعیین شد. واکنش‌های رقت‌های متواالی برای آغازگرهای DNA و cDNA (No template control) به همراه واکنش فاقد cDNA الگو برای هر ژن انجام شد.

### اثرات ضدسرطانی نانوذرات بارگذاری شده با سیسپلاتین

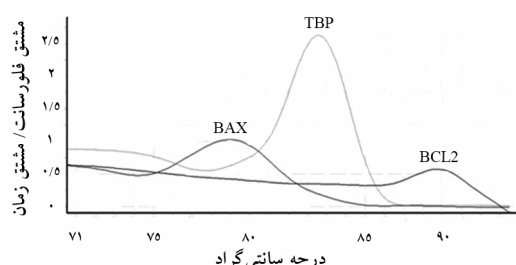
و *BAX* و *BCL2* (شکل ۲)، به ترتیب  $-3/36$ ،  $-3/42$  و  $-3/35$  محاسبه شد. میزان کارآیی واکنش تکثیر با استفاده از شبیب منحنی استاندارد برای ژن‌های *TBP*، *BCL2* و *BAX* به ترتیب  $98/15$ ،  $95/83$  و  $86/93$  درصد به دست آمد.



شکل ۲ نمودار منحنی استاندارد ژن‌های *BCL2*، *TBP* و *BAX* که به ترتیب از بالا به پایین منحنی استاندارد ژن‌های *BCL2* و *BAX* و *TBP* است. این منحنی استاندارد براساس رقت‌های ۷۵، ۱۵۰، ۳۰۰، ۶۰۰ و ۱۲۰۰ نانوگرم در میکرولیتر cDNA الگو ترسیم شده است.

### تجزیه و تحلیل منحنی ذوب

تکثیر اختصاصی قطعات ژنی مورد نظر، عدم جفت شدن آغازگرها و عدم تکثیر قطعات غیراختصاصی برای هر ژن با استفاده از منحنی ذوب تعیین شد (شکل ۳).

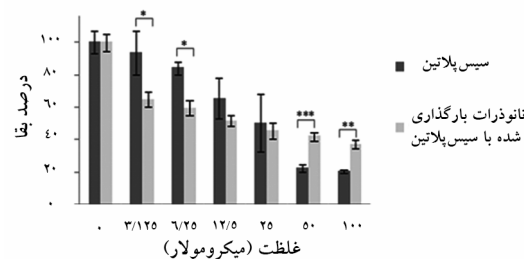


شکل ۳ منحنی ذوب ژن‌های *TBP*، *BAX* و *BCL2*. محور عمودی نشان دهنده مشتق فلورسانس به مشتق زمان و محور افقی نشان دهنده درجه سانتی گراد است.

### تجزیه و تحلیل داده‌های Real-time PCR با استفاده از منحنی‌های تکثیری

در نمونه‌های کنترل و تیمار شده با غلظت‌های مختلف

و ۱۰۰ میکرومولار به ترتیب سبب کاهش بقای سلول‌ها ( $P<0.01$ )،  $51/5\pm 3/27$  ( $P<0.001$ )،  $59/33\pm 4/53$  ( $P<0.001$ )،  $42\pm 2/64$  ( $P<0.001$ )،  $45/33\pm 5/03$  ( $P<0.001$ )،  $37/1\pm 2/59$  می‌شود. این نتایج در شکل ۱ دیده می‌شود.



شکل ۱ درصد بقای سلول‌های T47D در برابر غلظت‌های مختلف سیسپلاتین و نانوذرات بارگذاری شده با سیسپلاتین در مدت زمان ۴۸ ساعت؛ نتایج به صورت درصد بقا در مقایسه با نمونه‌های کنترل و به صورت میانگین ± انحراف معیار گزارش شده است (\*:  $P<0.05$ ; \*\*:  $P<0.01$ ; \*\*\*:  $P<0.001$ ).

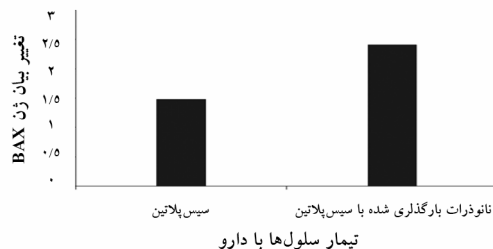
### محاسبه $IC_{50}$ سیسپلاتین و نانوذرات مغناطیسی اکسید آهن بارگذاری شده با سیسپلاتین روی سلول‌های T47D در زمان ۴۸ ساعت

پس از تیمار سلول‌های T47D با غلظت‌های مختلف سیسپلاتین و نانوذرات بارگذاری شده با سیسپلاتین در زمان ۴۸ ساعت با استفاده از نرم‌افزار pharm میزان  $IC_{50}$  محاسبه شد. میزان  $IC_{50}$  برای سیسپلاتین  $28/395$  میکرومولار و برای نانوذرات بارگذاری شده با سیسپلاتین  $17/186$  میکرومولار محاسبه شد.

### رسم منحنی استاندارد و محاسبه کارآیی PCR

پس از ترسیم منحنی استاندارد برای ژن‌های *TBP*، *BCL2* و *BAX* دامنه مقدار مناسب cDNA الگو ۶۰۰ تا ۷۵ نانوگرم به دست آمد. شب منحنی استاندارد برای ژن‌های *TBP*

شرایط مختلف متفاوت بود که بیانگر تغییر در میزان بیان این ژن‌ها است.

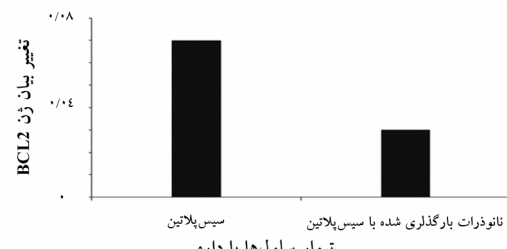


شکل ۵ منحنی تغییر بیان ژن *BAX* در سلول‌های T47D تیمار شده با سیس‌پلاتین و نانوذرات بارگذاری شده با سیس‌پلاتین؛ در غلظت ۲۸/۳۹۵ میکرومولار سیس‌پلاتین و نانوذرات بارگذاری شده با سیس‌پلاتین میزان بیان ژن *BAX* به میزان ۱/۴۸ و ۲/۴۱ تغییر یافت.

است. شناسایی مکانیسم‌های سیس‌پلاتین بینش مهمی را در زمینه داروهای حاوی پلاتین فراهم می‌آورد.

برای کاهش آثار جانبی و افزایش کارایی سیس‌پلاتین محققان مختلف از نانو حامل‌های گوناگون برای انتقال سیس‌پلاتین استفاده کرده‌اند. بیشتر عوامل ضد سرطانی آثار درمانی خودشان را با القای مرگ سلولی برنامه‌ریزی شده (Apoptosis) اعمال می‌کند. القای مرگ سلولی برنامه‌ریزی شده یکی از مهم‌ترین روش‌ها در از بین بردن بدون عارضه سلول‌های سرطانی است. در این تحقیق داروی سیس‌پلاتین استفاده شد، زیرا این دارو به صورت یک نمک معدنی با ساختار مولکولی بسیار کوچک و در دسترس است که در درمان بسیاری از سرطان‌ها کاربرد دارد. سیس‌پلاتین یک ترکیب آلکیله کتنده ضد سرطانی است که برای درمان بسیاری از سرطان‌ها استفاده می‌شود. آثار سلول‌کشی این دارو به اثبات رسیده است. تحقیقات صورت گرفته بر روی بیان ژن‌های مرتبط با مرگ سلولی برنامه‌ریزی شده در سلول‌های سرطانی تخدمان تیمار شده با سیس‌پلاتین نشان داد که بیان ژن‌های *BAX*, *BCL-XL*, *BCL2*, *BAD* و *BAX* به صورت کاملاً گوناگون در اثر تیمار با سیس‌پلاتین تغییر می‌کند. همچنین میزان بیان ژن‌های *BAX*, *BCL2*, *BAD* و *BAX* می‌گردد سیس‌پلاتین روی سلول‌های سرطانی در حال انجام

دارو چرخه آستانه ژن مرجع جابه‌جایی بسیار ناچیز و نامحسوسی داشت اما چرخه آستانه ژن‌های *BCL2* و *BAX* در



شکل ۶ منحنی تغییر بیان ژن *BCL2* در سلول‌های T47D تیمار شده با سیس‌پلاتین و نانوذرات بارگذاری شده با سیس‌پلاتین؛ در غلظت ۲۸/۳۹۵ میکرومولار سیس‌پلاتین و نانوذرات بارگذاری شده با سیس‌پلاتین میزان بیان ژن *BCL2* به میزان ۰/۰۷ و ۰/۰۳ تغییر یافت.

## پروفایل (mRNA) بیانی ژن‌های *BCL2* و *BAX* در سلول‌های T47D تیمار شده سیس‌پلاتین و نانوذرات مغناطیسی اکسید آهن بارگذاری شده با سیس‌پلاتین

تغییر در بیان ژن‌ها در سلول‌های T47D تیمار شده با غلظت ۲۸/۳۹۵ میکرومولار سیس‌پلاتین و نانوذرات بارگذاری شده با سیس‌پلاتین بعد از ۴ ساعت ارزیابی شد. بیان ژن‌های *BAX* و *BCL2* در سلول‌های T47D تیمار شده با سیس‌پلاتین به ترتیب به میزان ۰/۰۷ و ۱/۴۸ و در سلول‌های T47D تیمار شده با نانوذرات بارگذاری شده با سیس‌پلاتین به ترتیب به میزان ۰/۰۳ و ۲/۴۱ تغییر یافت که در شکل‌های ۴ و ۵ نشان داده شده است.

## بحث

از زمان کشف سیس‌پلاتین در سال ۱۹۶۵ توسط دکتر رزنبرگ (Rosenberg) [۱۲] و استفاده بالینی از آن در سال ۱۹۷۰ [۱۳] تحقیقات زیادی در زمینه شناسایی مکانیسم عملکرد سیس‌پلاتین روی سلول‌های سرطانی در حال انجام

### اثرات ضدسرطانی نانوذرات بارکداری شده با سیسپلاتین

قرار می‌گیرد ناسازگار باشد و باعث اختلال شود. بنابراین انتقال دارو به ناحیه ویژه می‌تواند عوارض جانبی را حذف کند و همچنین میزان داروی مورد نیاز را کاهش دهد. برای درمان با استفاده از نانوذرات، راهکارهای هدف‌گیری فعال و غیرفعال به کار گرفته می‌شود. در هدف‌گیری فعال اتصال نانوذره به یک لیگاند خاص سبب می‌شود تا نانوذره توسط سلول‌های خاص تشخیص داده شود [۱۷]. علاوه بر این، یک راه برای بهبود رهایش هدفمند دارو در زمان استفاده از نانوذرات مغناطیسی به کارگیری یک میدان مغناطیسی خارجی برای هدایت دارو به محل مورد نظر است. در این روش باید دارو به نانوذرهای مغناطیسی با پوشش مناسب، متصل شود و سپس به سیستم گردش خون تزریق شود. سپس یک میدان مغناطیسی به ناحیه مورد نظر اعمال می‌شود تا حامل‌های مغناطیسی به طور گزینشی در این محل جمع شوند [۱۸].

هدف‌گیری غیرفعال براساس ویژگی‌های سیستم انتقالی و پاتولوژی بیماری به منظور ایناشته شدن دارو در محل مورد علاقه و اجتناب از توزیع غیر اختصاصی تکیه می‌نماید. در تومورهای جامد در مدل موشی تسهیل نفوذپذیری و احتباس (Enhanced Permeability and Retention: EPR) افزایش می‌یابد [۱۹]. وقتی ترکیبات دارو- نانوذرات به کار گرفته می‌شوند غلظت‌ها ۱۰ تا ۱۰۰ برابر بیشتر می‌تواند به تومورها برسد و این به خاطر تسهیل نفوذپذیری و نگهداری در مقایسه با استفاده از داروی آزاد است [۲۰].

در سال‌های اخیر استفاده از نانوحامل‌ها سبب کاهش آثار جانبی سیسپلاتین شده و تجمع و بقای سیسپلاتین را در بافت‌های توموری افزایش داده است. در حال حاضر دو راهکار برای قرارگیری سیسپلاتین در نانوذرات وجود دارد، (۱) به دام انداختن فیزیکی سیسپلاتین در نانوذرات و (۲) اتصال شیمیایی سیسپلاتین به نانوذرات. محققان روش جدیدی در ساخت سیسپلاتین اینم ایجاد کردند. از آن‌جا که کلیه‌ها قادر به جذب ذراتی با قطر بیش از ۵ نانومتر نیستند، نانوذراتی ساخته شدند که توسط کلیه‌ها قابل جذب نبودند [۲۱].

در سلول‌های تیمار شده با سیسپلاتین به ترتیب به میزان ۰/۹ و ۱/۲ برابر به نسبت سلول‌های کنترل و تیمار نشده با دارو تغییر می‌کند [۱۴]. در مطالعه قبلی محققان حاضر مشخص شد که تیمار سلول‌های T47D با غلظت ۴۴ میکرومولار سیسپلاتین به مدت ۲۴ ساعت سبب کاهش بیان ژن *BCL2* می‌شود [۱۰].

سطوح بیانی mRNA ژن‌های مرتبط با مرگ سلولی برنامه‌ریزی شده در پاسخ به تیمار با سیسپلاتین، کربوپلاتین (Carboplatin) و دوکسوروبیوسین (Doxorubicin) در رده سلولی MCF-7 نشان داد که غلظت ۳/۳ میکرومولار از سیسپلاتین سبب کاهش بیان در سطح mRNA ژن‌های *CASP9* و *BCL2L12* می‌شود؛ در حالی که تغییری در بیان ژن‌های *BAX* و *FAS* صورت نمی‌گیرد [۱۵]. پروفایل بیانی mRNA هرکدام از ژن‌های مذکور بسته به نوع درمان صورت گرفته و زمان پس از درمان متفاوت بود. این بررسی با روش RT-PCR و با طراحی آغازگرهای اختصاصی برای ژن‌های *BCL2L12*، *CASP9*، *FAS*، *BAX* و *BCL2* انجام گرفت که در پاسخ به سیسپلاتین سطح بیان *CASP9* و *BCL2* افت کرد اما سطح *BCL2L12* تغییری نکرد [۱۵]. محققان دریافتند که غلظت ۵۰ میکرومولار از سیسپلاتین به طور واضحی سبب القای مرگ سلولی برنامه‌ریزی شده در سلول‌های CH27 و A549 می‌شود. در این مطالعه سلول‌ها با غلظت‌های ۰/۱ تا ۱۰۰ میکرومولار از سیسپلاتین برای زمان‌های مختلف تیمار شدند. در این مطالعه مشخص شد که خاصیت سیتو توکسیک سیسپلاتین وابسته به غلظت و زمان است. همچنین مشخص شد که غلظت ۰/۱ میکرومولار از سیسپلاتین هیچ اثر سیتو توکسیسیتی بر این سلول‌ها ندارد [۱۶]. داروهای شیمی درمانی مورد استفاده به طور معمول غیراختصاصی هستند و پس از خوردن یا تزریق، دارو به طور تصادفی از طریق گردش خون در بدن انتشار یافته که می‌تواند باعث ایجاد عوارض جانبی در سلول‌های سالم شود یا این که با داروهای دیگری که برای بیماری‌های مختلف مورد استفاده شده باشند.

این مشخص شد که اثر سمیت نانوذرات بارگذاری شده با سیسپلاتین بر سلول‌های T47D در غلظت‌های ۳/۱۲۵، ۷/۲۵ و ۱۲/۵ میکرومولار بیشتر از سیسپلاتین تنها است. اما مکانیسم نانوذرات اکسیدآهن در افزایش غلظت داخل سلولی سیسپلاتین ناشناخته است.

به نظر می‌رسد ژن *BCL2* نقش مهمی را در پیشرفت سرطان پستان بازی می‌کند. مشاهده شده که در ۷۰ درصد افراد مبتلا به سرطان پستان بیان ژن *BCL2* افزایش می‌یابد [۲۶]. محصول ژن *BCL2* در تحریک رشد و بقا و مهار مرگ سلولی برنامه‌ریزی شده نقش ایفا می‌کند. در حالی که پروتئین BAX سبب القای مرگ سلولی برنامه‌ریزی شده در سلول‌ها شده و عملکردی برخلاف پروتئین *BCL2* دارد. پروتئین‌های *BCL2* و BAX ساختارهای همودایمرو و هترودایمرو را تشکیل می‌دهند. این دو پروتئین فاکتورهای مرتبه با هم هستند که فرآیند مرگ سلولی برنامه‌ریزی شده را تنظیم می‌کنند [۲۷].

در سال ۲۰۰۹ گروهی از محققین مشاهده کردند که نانوذرات  $\text{Fe}_3\text{O}_4$  به همراه سیسپلاتین به شدت بیان mRNA ژن *BCL2* را در سلول‌های SKOV3 کاهش می‌دهد. این محققین پیشنهاد کردند که نانوذرات اکسیدآهن می‌تواند سبب افزایش عملکرد سیسپلاتین در کاهش بیان ژن *BCL2* در سلول‌های SKOV3 شود [۲۸]. تاکنون مطالعه‌ای در زمینه اثر سیسپلاتین و نانوذرات  $\text{Fe}_3\text{O}_4$  بارگذاری شده سیسپلاتین در مدت زمان ۴۸ ساعت روی سلول‌های T47D سرطان پستان صورت نگرفته است. نتایج بررسی حاضر نشان داد که اثر نانوذرات بارگذاری شده با سیسپلاتین بعد از ۴۸ ساعت بیشتر از سیسپلاتین تنها است که با نتایج به دست آمده در مطالعات گذشته هم خوانی دارد. همچنین مشخص شد که نانوذرات بارگذاری شده با سیسپلاتین می‌تواند سبب کاهش بیان ژن *BCL2* در سلول‌های T47D بعد از مدت زمان ۴۸ ساعت شود. در مورد سیسپلاتین هم کاهش بیان *BCL2* بعد از مدت زمان ۴۸ ساعت مشاهده شد. همچنین سلول‌های

در مطالعات دیگر نانوذرات  $\text{PLGA-mPEG}$  [Poly(lactide-co-glycolide)-methoxy-poly(ethylene glycol)] حاوی داروی سیسپلاتین تهیه و پایداری دارو در گردش خون بررسی شد. مشخص شد که این نانوذرات می‌تواند نیمه عمر سیسپلاتین را در جریان خون افزایش دهد [۲۲]. در مطالعه‌ای دیگر اثر نانوذرات بارگذاری شده با سیسپلاتین بر سلول‌های سرطانی بررسی شد. در این مطالعه نانوذرات ساخته شده کروی شکل با میانگین اندازه ۱۰۰ نانومتر بود. در این تحقیق اثر نانوذرات حاوی سیسپلاتین مشابه اثر سیسپلاتین بعد از مدت زمان ۴۸ ساعت بود [۲۳]. محققان از نانوذرات توخالی  $\text{Fe}_3\text{O}_4$  برای درمان هدفمند سرطان پستان استفاده کردند. در این مطالعه مشخص شد که آثار سمیت سلولی نانوذرات بر سلول‌های سرطان پستان وابسته به غلظت است. همچنین مشاهده شد که آثار نانوذرات کمتر از سیسپلاتین تنها بعد از مدت زمان ۲۴ ساعت بود. این اثر کمتر به خاطر این است که سیسپلاتین تنها از طریق فرآیند انتشار به سیتوپلاسم سلول وارد و سپس به هسته منتقل می‌شود. در حالی که نانوذره حاوی سیسپلاتین از طریق اندوسیتوز به سلول وارد شده و ممکن است مقداری از سیسپلاتین در اجزای اندوزومی باقی بماند. اما در زمان ۴۸ ساعت خاصیت سمیت سلولی نانوذره حاوی سیسپلاتین بیشتر از سیسپلاتین تنها بود [۲۴]. در این مطالعه  $\text{IC}_{50}$  نانوذره حاوی سیسپلاتین ۲/۹ میکرومولار بود در حالی که  $\text{IC}_{50}$  سیسپلاتین تنها ۶/۸ میکرومولار محاسبه شد [۲۴]. محققان یک نانوذره دوقلو حاوی طلا و اکسید آهن ساختند. در آزمون‌های آزمایشگاهی مشخص شد که این نانوذرات می‌تواند به طور موافقی آمیزی سلول‌های سرطانی را مورد هدف قرار دهد و سیسپلاتین را به داخل سلول‌ها رها کند. همچنین مشاهده شد که این نانوذرات قادر است تا ۸۰ درصد سلول‌های سرطانی را از بین ببرد [۲۵].

مطالعه حاضر روی سلول‌های T47D انجام گرفت و مشاهده شد که آثار سمیت سیسپلاتین و نانوذرات بارگذاری شده با سیسپلاتین با افزایش غلظت افزایش می‌یابد. علاوه بر

## اثرات ضدسرطانی نانوذرات بارگذاری شده با سیس پلاتین

این مطالعه نسبت به مطالعات قبلی است.

## تشکر و قدردانی

کلیه هزینه‌های این تحقیق از محل بودجه تحقیقاتی مصوب در پایلوت بیوتکنولوژی انسٹیتو پاستور ایران تأمین شده است که بدین‌وسیله از زحمات و مساعدت‌های انجام شده سپاسگزاری می‌شود.

T47D تیمار شده با سیس‌پلاتین بعد از مدت زمان ۴۸ ساعت افزایش بیان ژن mRNA BAX را نشان دادند. افزایش بیان ژن BAX نیز در سلول‌های T47D تیمار شده با نانوذرات بارگذاری شده با سیس‌پلاتین مشاهده شد.

تغییرات بیانی ژن‌های BCL2 و BAX در سلول‌های سرطانی تیمار شده با نانوذرات بارگذاری شده با سیس‌پلاتین بیشتر از تغییرات بیانی این ژن‌ها در مطالعات گذشته است که این نتایج نشان دهنده مؤثرتر بودن نانوذرات ساخته شده در

## منابع

- [1] Armstrong K, Eisen A, Weber B. Assessing the risk of breast cancer. *N Engl J Med* 2000; 342(8): 564-71.
- [2] Roy R, Chun J, Powell SN. BRCA1 and BRCA2: different roles in a common pathway of genome protection. *Nat Rev Cancer* 2011; 12(1): 68-78.
- [3] Hale PS, Maddox LM, Shapter JG, voelker NH, Ford MJ, Waclawik ER. Growth Kinetics and Modeling of ZnO Nanoparticles. *J Chem Educ* 2005; 82(5): 775-8.
- [4] Juzenas P, Chen W, Sun YP, Coelho MA, Generalov R, Generalova N, Christensen IL. Quantum dots and nanoparticles for photodynamic and radiation therapies of cancer. *Adv Drug Deliv Rev* 2008; 60(15): 1600-14.
- [5] Cepeda V, Fuertes MA, Castilla J, Alonso C, Quevedo C, Pérez JM. Biochemical mechanisms of cisplatin cytotoxicity. *Anticancer Agents Med Chem* 2007; 7(1): 3-18.
- [6] Gonzalez VM, Fuertes MA, Alonso C, Perez JM. Is cisplatin-induced cell death always produced by apoptosis? *Mol Pharmacol* 2001; 59(4): 657-63.
- [7] Poole Jr, Charles P, Owens FJ. Introduction to Nanotechnology. USA: A Wiley- inter science publication, 2003; 400.
- [8] Daou TJ, Grenèche JM, Pourroy G, Buathong S, Derory A, Ulhaq-Bouillet C, Donnio B, Guillon D, Begin-Colin S. Coupling Agent Effect on Magnetic Properties of Functionalized Magnetite-Based Nanoparticles. *Chem Mater* 2008; 20(18): 5869-75.
- [9] Mokhtari MJ, Arabi H, Akbarzadeh A. Preparation, characterization and in vitro cytotoxicity of cisplatin loaded Fe<sub>3</sub>O<sub>4</sub> nanoparticles. 2013; *Molecules*. (In Press)
- [10] Mokhtari MJ, Akbarzadeh A, Hashemi M, Javadi GR, Mahdian R, Merabi MR, Farhangi A, Mohammadi H. Cisplatin Induces Down Regulation of BCL2 in T47D Breast Cancer Cell Line. *Adv Stud Biol* 2012; 4(1): 19-25.
- [11] Mokhtari MJ, Motamed N, Shokrgozar MA. Evaluation of silibinin on the viability, migration and adhesion of the human prostate adenocarcinoma (PC-3) cell line. *Cell Biol Int* 2008; 32(8): 888-92.

- [12] Rosenberg B, Vancamp L, Krigas T. Inhibition of cell division in *escherichia coli* by electrolysis products from a platinum electrode. *Nature* 1965; 205: 698-9.
- [13] Rantanen V, Grénman S, Kulmala J, Grénman R. Comparative evaluation of cisplatin and carboplatin sensitivity in endometrial adenocarcinoma cell lines. *Br J Cancer* 1994; 69(3): 482-6.
- [14] Siervo-Sassi RR, Marrangoni AM, Feng X, Naoumova N, Winans M, Edwards RP, Lokshin A. Physiological and molecular effects of Apo2L/TRAIL and cisplatin in ovarian carcinoma cell lines. *Cancer Lett* 2003; 190(1): 61-72.
- [15] Thomadaki H, Scorilas A. Breast cancer cells response to the antineoplastic agents cisplatin, carboplatin, and doxorubicin at the mRNA expression levels of distinct apoptosis-related genes, including the new member, *BCL2L12*. *Ann N Y Acad Sci* 2007; 1095: 35-44.
- [16] Cheng YJ, Jiang HS, Hsu SL, Lin LC, Wu CL, Ghanta VK, Hsueh CM. XIAP-mediated protection of H460 lung cancer cells against cisplatin. *Eur J Pharmacol* 2010; 627(1-3): 75-84.
- [17] Cegnar M, Kristl J, Kos J. Nanoscale polymer carriers to deliver chemotherapeutic agents to tumours. *Expert Opin Biol Ther* 2005; 5(12): 1557-69.
- [18] Yu MK, Jeong YY, Park J, Park S, Kim JW, Min JJ, Kim K, Jon S. Drug-loaded superparamagnetic iron oxide nanoparticles for combined cancer imaging and therapy in vivo. *Angew Chem Int Ed Engl* 2008; 47(29): 5362-5.
- [19] Maeda H, Matsumura Y. Tumoritropic and lymphotrophic principles of macromolecular drugs. *Crit Rev Ther Drug Carrier Syst* 1989; 6(3): 193-210.
- [20] Shenoy D, Little S, Langer R, Amiji M. Poly (ethylene oxide)-modified poly(beta-amino ester) nanoparticles as a pH-sensitive system for tumor-targeted delivery of hydrophobic drugs. 1. In vitro evaluations. *Mol Pharm* 2005; 2(5): 357-66.
- [21] Segota E, Bukowski RM. The promise of targeted therapy: cancer drugs become more specific. *Cleve Clin J Med* 2004; 71(7): 551-60.
- [22] Avgoustakis K, Beletsi A, Panagi Z, Klepetsanis P, Karydas AG, Ithakissios DS. PLGA-mPEG nanoparticles of cisplatin: in vitro nanoparticle degradation, in vitro drug release and in vivo drug residence in blood properties. *J Control Release* 2002; 79(1-3): 123-35.
- [23] Ding D, Li K, Zhu Z, Pu KY, Hu Y, Jiang X, Liu B. Conjugated polyelectrolyte-cisplatin complex nanoparticles for simultaneous in vivo imaging and drug tracking. *Nanoscale* 2011; 3(5): 1997-2002.
- [24] Cheng K, Peng S, Xu C, Sun S. Porous Hollow Fe<sub>3</sub>O<sub>4</sub> Nanoparticles for Targeted Delivery and Controlled Release of Cisplatin. *J Am Chem Soc* 2009; 131(30): 10637-44.
- [25] Lee Y, Garcia MA, Frey Huls NA, Sun S. Synthetic Tuning of the Catalytic Properties of Au-Fe<sub>3</sub>O<sub>4</sub> Nanoparticles. *Angew Chem Int Ed* 2010; 49: 1271-4.
- [26] Sakakura C, Sweeney EA, Shirahama T, Igarashi Y, Hakomori S, Tsujimoto H, Imanishi T, Ogaki M, Ohyama T, Yamazaki J,

اثرات ضدسرطانی نانوذرات بارکزاری شده با سیس پلاتین

- Hagiwara A, Yamaguchi T, Sawai K, Takahashi T. Overexpression of bax sensitizes breast cancer MCF-7 cells to cisplatin and etoposide. *Surg Today* 1997; 27(7): 676-9.
- [27] Tan C, Dlugosz PJ, Peng J, Zhang Z, Lapolla SM, Plafker SM, Andrews DW, Lin J. Auto-activation of the apoptosis protein Bax increases mitochondrial membrane permeability and is inhibited by Bcl-2. *J Biol Chem* 2006; 281(21): 14764-75.
- [28] Jiang Z, Chen BA, Xia GH, Wu Q, Zhang Y, Hong TY, Zhang W, Cheng J, Gao F, Liu LJ, Li XM, Wang XM. The reversal effect of magnetic Fe<sub>3</sub>O<sub>4</sub> nanoparticles loaded with cisplatin on SKOV3/DDP ovarian carcinoma cells. *Int J Nanomedicine* 2009; 4: 107-14.